## 1 局部耦合中跨边界坐标的调整

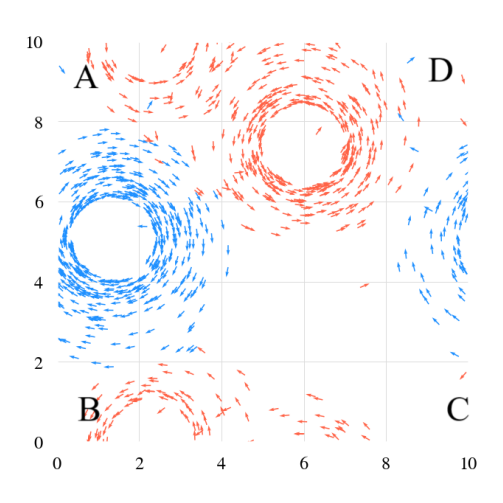


Figure 1: 跨边界坐标的调整

给定  $(x_i, y_i)$ , 对于任意的  $(x_j, y_j)$ , 做如下变换

$$\bar{x}_{j} = \begin{cases} x_{j}, & |x_{i} - x_{j}| \leq L/2 \\ x_{j} + L, & x_{i} - x_{j} > L/2 \\ x_{j} - L, & x_{j} - x_{i} > L/2 \end{cases}$$

$$\bar{y}_{j} = \begin{cases} y_{j}, & |y_{i} - y_{j}| \leq L/2 \\ y_{j} + L, & y_{i} - y_{j} > L/2 \\ y_{j} - L, & y_{j} - y_{i} > L/2 \end{cases}$$

其中,L 为边界长度. 例如,对于1中的情况,以 A 为  $(x_i,y_i)$  时,B 需调整纵坐标,D 需调整横坐标,C 需同时调整横纵坐标.

原始距离为

$$d_{ij} = \sqrt{(x_i - x_j)^2 + (y_i - y_j)^2}$$

变换后的距离为

$$\bar{d}_{ij} = \sqrt{(x_i - \bar{x}_j)^2 + (y_i - \bar{y}_j)^2}$$

下证  $\bar{d}_{ij} \leq d_{ij}$ , 即调整后的距离不会大于原始距离.

对于 
$$(x_i - x_i)^2$$
,  $(x_i - \bar{x}_i)^2$ , 若  $x_i \neq \bar{x}_i$ , 有

$$(x_i - \bar{x}_j)^2 - (x_i - x_j)^2$$

$$= (x_j \pm L - x_i)^2 - (x_i - x_j)^2$$

$$= L^2 \pm 2L(x_j - x_i)$$

$$= \begin{cases} L^2 + 2L(x_j - x_i), & x_i - x_j > 5 \\ L^2 - 2L(x_j - x_i), & x_j - x_i > 5 \end{cases}$$

$$< L^2 - 10L$$

$$= 0, (L = 10)$$

即

$$(x_i - \bar{x}_j)^2 < (x_i - x_j)^2, (L = 10, x_i \neq \bar{x}_j)$$

同理可证

$$(y_i - \bar{y}_j)^2 < (y_i - y_j)^2, (L = 10, x_i \neq \bar{x}_j)$$

综上有

$$\bar{d}_{ij} = \sqrt{(x_i - \bar{x}_j)^2 + (y_i - \bar{y}_j)^2} \le \sqrt{(x_i - x_j)^2 + (y_i - y_j)^2} = d_{ij}$$

当且仅当  $x_i = \bar{x}_j$  且  $y_i = \bar{y}_j$  时, 取等号.

因此

$$D_{ij} = \min \left\{ \sqrt{(x_i - \bar{x}_j)^2 + (y_i - \bar{y}_j)^2}, \sqrt{(x_i - x_j)^2 + (y_i - y_j)^2} \right\}$$
$$= \sqrt{(x_i - \bar{x}_j)^2 + (y_i - \bar{y}_j)^2}$$

# 2 相位-取向关联的集群振子系统的动力学研究

#### △ 聚焦点

- 1. 环态及其相变
- 2. 环态的解域与相位同步的关系
- 3. 数值结果的细致讨论, 分类
- 4. 必要的理论分析与估计

分析点

## 2.1 单个粒子的运动问题(无相互作用)

$$\begin{cases} \Delta x (t) = v \cos \theta \Delta t & \dot{x} = v \cos \theta \\ \Delta y (t) = v \sin \theta \Delta t & \dot{y} = v \sin \theta \\ \dot{\theta}_i = \omega_i \to \theta_i (t) = \omega_i t \\ v = \sqrt{\dot{x}_i^2 + \dot{y}_i^2} = v (constant) \end{cases}$$

运动半径 =?

$$\begin{cases} x_i(t) = x_i(0) - \frac{v}{\omega_i} \sin \omega_i t \\ y_i(t) = y_i(0) - \frac{v}{\omega_i} \cos \omega_i t \end{cases}$$
$$\Rightarrow (x_i - x_i^0)^2 + (y_i - y_i^0)^2 = \left(\frac{v}{\omega_i}\right)^2$$

每个粒子的运动轨迹是一个圆,圆心为  $\left(x_i^0,y_i^0\right)$ ,半径为  $\frac{v}{\omega_i}$ 

# 2.2 考虑相互作用 $\lambda$ ,耦合距离 $d_0$ ( $\{A_ij\}$ ,注意是时变的)

- 看空间聚集过程
- 空间尺度也考虑进去

粒子数 
$$N,~L \times L \sim \sqrt{\frac{L \times L}{N}} \sim \frac{L}{\sqrt{N}}$$

- 1. 每个单粒子的运动空间尺度,  $\frac{v}{\omega_i}$
- 2. 耦合距离 d<sub>0</sub>
- 3. 粒子平均间距  $\frac{L}{\sqrt{N}}$

$$d_0 \sim \frac{L}{\sqrt{N}} \to d_0 \ll \frac{L}{\sqrt{N}}, d_0 \gg \frac{L}{\sqrt{N}}$$

低频粒子:  $d_0 \ll \frac{v}{\omega_i}$  高频粒子:  $d_0 \gg \frac{v}{\omega_i}$ 

在计算空间 pattern 同时, 还要跟踪每个粒子的相速度  $\dot{\theta}_i(t)$ 

## 2.3 序参量 Order Parameter

#### 2.3.1 相位单位圆

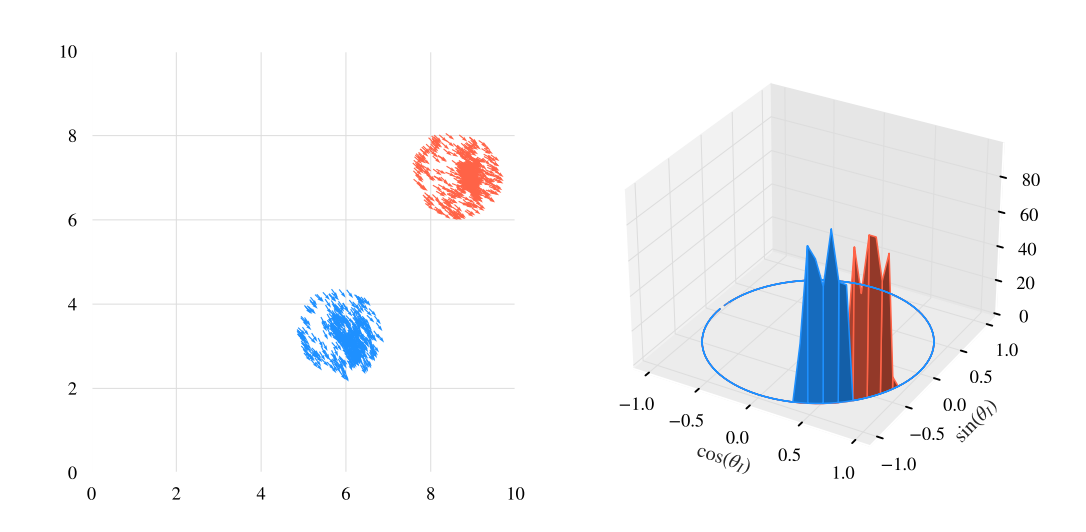


Figure 2: 相位单位圆

z 轴表示单位圆上相位处于该区间的粒子数,类似于分布.

#### 2.3.2 每个粒子旋转质心的坐标

对于任意的粒子 i,其当前坐标为  $(x_i,y_i)$ ,相速度为  $\dot{\theta}_i$ ,假设从当前时刻开始,其相速度不变,即  $\dot{\theta}_i$  为常数,记录该粒子在一个周期  $(2\pi)$  内的运动轨迹,即  $2\pi/\dot{\theta}_i$  时间内,以当前坐标  $(x_i,y_i)$  为起点,以  $\{v\cos\theta_i,v\sin\theta_i\}$  为速度,运动得到的轨迹,以轨迹上点坐标的算数平均作为该粒子的旋转质心坐标,即

$$\begin{cases} \bar{x}_i = \frac{1}{2\pi/\dot{\theta}_i} \int_0^{2\pi/\dot{\theta}_i} \left( x_i + v \cos \theta_i t \right) dt \\ \bar{y}_i = \frac{1}{2\pi/\dot{\theta}_i} \int_0^{2\pi/\dot{\theta}_i} \left( y_i + v \sin \theta_i t \right) dt \end{cases}$$

由上式计算得到的每个状态的旋转质心坐标,见附录3,图

以轨迹上点距离旋转质心的距离的算数平均作为该粒子的旋转半径,即

$$\bar{r}_{i} = \frac{1}{2\pi/\dot{\theta}_{i}} \int_{0}^{2\pi/\dot{\theta}_{i}} \sqrt{(x_{i} + v\cos\theta_{i}t - \bar{x}_{i})^{2} + (y_{i} + v\sin\theta_{i}t - \bar{y}_{i})^{2}} dt$$

此外, 还可以计算每个旋转质心距离原点的距离, 即

$$d_i = \sqrt{\bar{x}_i^2 + \bar{y}_i^2}$$

## 2.3.3 序参量的定义

旋转质心距离原点的距离标准差

$$\sigma_d = \sqrt{\frac{1}{N} \sum_{i=1}^{N} \left( d_i - \bar{d} \right)^2}$$

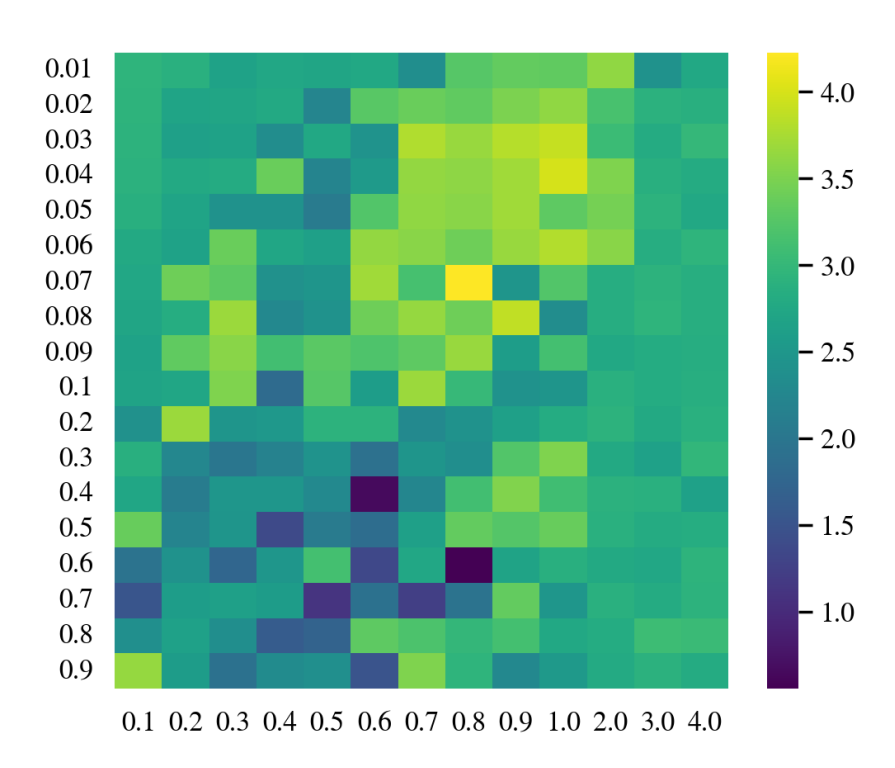


Figure 3: 旋转质心原点距离标准差

旋转质心邻域内的其余质心数

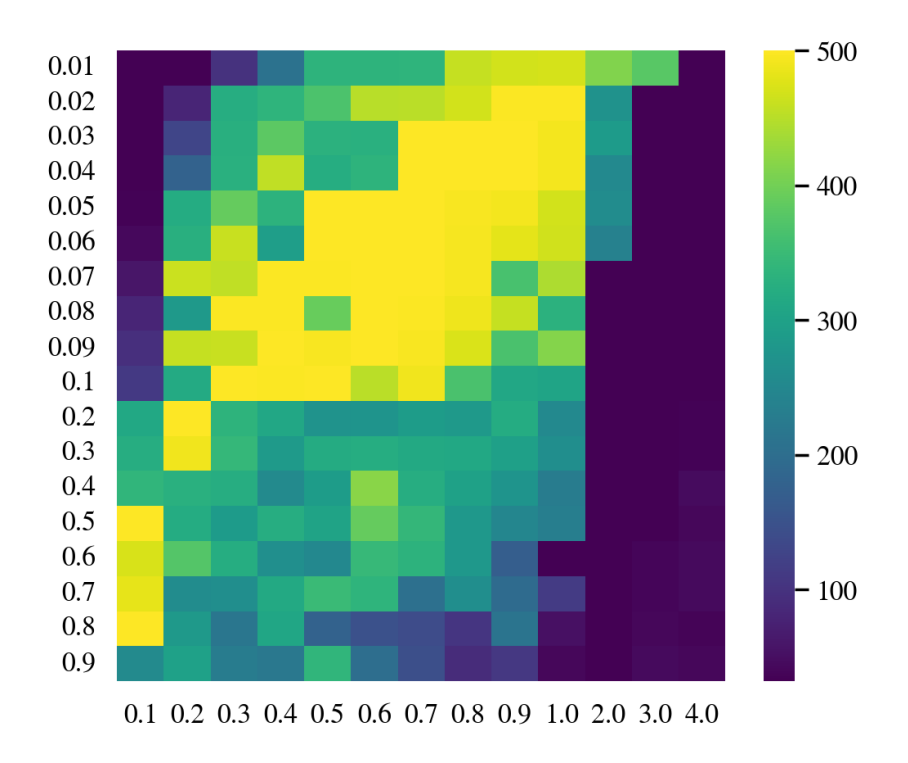


Figure 4: 旋转质心原点距离标准差

# 3 附录